

اصول طراحی سیستمهای PCM روی کابل زوجی
دکتر ناصر رضائی
استادیار دانشکده فنی دانشگاه تهران

چکیده

هدف از این مقاله بررسی پارامترهای موثر در طرح سیستمهای PCM روی کابل زوجی است. تعداد سیستمهایی که می توانند به طور رضایت بخش روی یک کابل زوجی کار کنند، به وسیله نویز همشنوائی محدود می شود. لذا برای بررسی این محدودیت ابتدا همشنوائی بین دو سیستم مورد توجه قرار گرفته و سپس براساس توزیع افت همشنوائی در کابل، نتیجه برای تداخل II سیستم تعمیم داده شده. نتایج به دست آمده این امکان را به وجود می آورد که بتوان براساس اطلاعات آماری افت همشنوائی کابلهای به کار رفته در شبکه، تعداد سیستمهای PCM را که می توان روی یک کابل قرار داد مشخص کرد یا اینکه حداقل متوسط افت همشنوائی لازم برای دستیابی به یک احتمال خطای معین در فاصله تکرار کننده را به صورت تابعی از سرعت سیستم، تعداد سیستمها و فاصله تکرار کننده ها بیان کرد.

۱- مقدمه

با توجه به ویژه گیهای سیستمهای رقمی (۱) [۱ و ۲] استفاده از این تکنیک در شبکه های مخابراتی روند افزایشی داشته است و در شبکه های مدرن، سیستمهای رقمی به سرعت جای سیستمهای قیاسی (۲) را می گیرند. [۳]. هرگاه سیر طبیعی گسترش یک شبکه تلفنی را در نظر بگیریم به علت مسائل اقتصادی، اولین قدم در استفاده از سیستمهای انتقال رقمی، کاربرد سیستم PCM روی کابلهای زوجی موجود در شبکه به منظور افزایش ظرفیت ترافیکی بین مراکز است. این روند نیز با معرفی مراکز سوچینگ رقمی سرعت افزایش بیشتری پیدا خواهد کرد. در این شرایط استفاده از یک کابل به منظور انتقال چند سیگنال PCM یا به عبارت دیگر افزایش تعداد سیستمهای PCM روی یک کابل مورد توجه قرار خواهد گرفت. لذا در این مقاله سعی شده پارامترهای مختلف موثر در کار چنین سیستمهای معرفی شود و با استفاده از آنها روابط حاکم بر طراحی به دست آید.

اصولا " طرح هر نوع سیستم انتقال بستگی به مشخصه محیط انتقال آن دارد و معمولا " بقیه قسمت های سیستم طوری انتخاب می شوند که بتوانند ضایعات ایجاد شده در سیگنال به وسیله محیط انتقال را به حداقل تحمل برسانند. کابل زوجی، کابل هم محور، فضا و فیبر نوری از محیطهای انتقالی

هستند که در سیستمهای رقمی در سطح وسیعی به کار می روند. با توجه به تفاوت خصوصیات انتقال در این محیطها طراحی سیستمهای مربوط، با توجه به مسائل خاص خود انجام می گیرد، اگرچه در بسیاری از موارد این سیستمها وجه اشتراک دارند. به طور کلی در سیستمهای انتقال رقمی روی کابل باید موارد زیر مورد توجه قرار گیرد.

الف - مشخصه افت؛ در محیطهای انتقال سیمی با تقریب خوب، افت (بر حسب dB) متناسب با \sqrt{f} است [۴ و ۵ و ۲۴].

ب - فرکانس قطع پائین: در سیستمهای کابلی معمولا " تغذیه تکرار کننده های بین راه از طریق محیط انتقال انجام می گیرد. به همین دلیل ورودی و خروجی تکرار کننده ها به ترانسفورماتورهای تزویج ac مجهزند. این شرایط باعث به وجود آمدن یک فرکانس قطع پائین در مشخصه خط انتقال می شود که انتقال سیگنال را با محدودیت روبرو می کند [۴ و ۵]. این محدودیت استفاده از کد کانال (۳) و یا در بعضی موارد استفاده از نوعی متعادل کننده (۴) در سیستم را ضروری می سازد [۶ و ۲۹].

ج - نویز حرارتی: این مولفه از نویز که در عناصر فعال و غیر فعال سیستم ایجاد می شود، جزء جدانشدنی و

وناخواسته سیگنال کانال است و مقدار آن بستگی به ترکیب سیستم دارد.

د - همشنوائی (۱): در کابل‌های زوجی که تعداد زیادی زوج سیم در کنار یکدیگر قرار گرفته‌اند، سیگنال انتقالی از طریق هر کدام از زوج سیمها تحت تاثیر همشنوائی ناشی از زوج سیمهای دیگر قرار می‌گیرد. بررسیهای انجام شده نشان می‌دهد که در سیستمهای رقمی روی کابل زوج اثر نویز همشنوائی در ورودی آشکار بیشتر از اثر نویز حرارتی است. به همین دلیل این سیستمها را با محدودیت نویز همشنوائی (۲) نامگذاری می‌کنند و طراحی آنها با توجه به مقدار این نویز در ورودی آشکار ساز، انجام می‌شود.

ه - نویز ضربه‌ای (۳): در عمل ممکن است شرایطی پیش آید که ترمینالهای PCM در محیطهای بانویز ضربه‌ای زیاد قرار گیرند (مثلاً "قرار گرفتن این وسایط در مراکز سوئیچینگ الکترومکانیکی). در این شرایط اثر نویز ضربه‌ای باعث افزایش خطا در فاصله تکرار کننده انتهای خط انتقال می‌شود. اگرچه اهمیت نویز ضربه‌ای در این شرایط زیاد است ولی متأسفانه به دلیل نبودن اطلاعات کافی، بررسی دقیق آن دشوار است. لذا در شرایط عملی برای کاهش اثر آن، طول قسمت تکرار کننده انتهای سیستم را کمتر از طول معمول در نظر می‌گیرند (افزایش دامنه سیگنال) و سعی می‌کنند تا حد امکان مسیره‌های PCM از مسیره‌های صوتی دور نگه داشته شود [۳ و ۴] و - اِکویا پژواک (۴): یک فاصله تکرار کننده در خط انتقال از قسمت‌های متعددی تشکیل شده. هرگاه در اتصال این قسمت‌ها تطبیق امپدانسی مناسب وجود نداشته باشد انعکاس به وجود خواهد آمد. وجود چنین انعکاسهایی باعث پژواک می‌شود و تداخل بین سیم‌ها (۵) (ISI) را به دنبال خواهد داشت که احتمال خطای سیستم را افزایش می‌دهد. در سیستمهای روی کابل هم محور در فرکانسهای بالا به علت ناپیکنواختی ساختمان کابل این مساله از اهمیت ویژه‌ای برخوردار است [۷ و ۸].

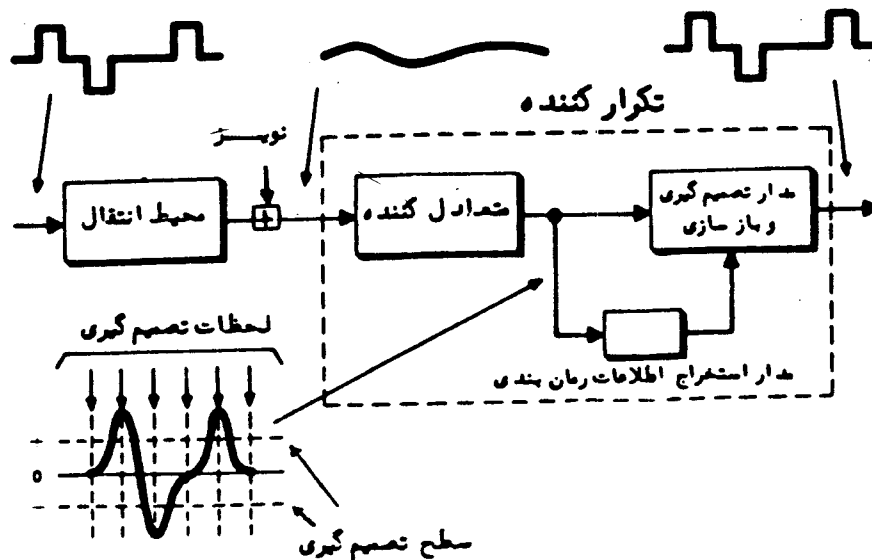
ز - سازگاری: در شبکه‌های مخابراتی اغلب از کابل‌هایی که هم اکنون در شبکه به منظور تامین سرویسهای

تلفنی به صورت قیاسی به کار می‌رود، برای انتقال سیگنال رقمی استفاده می‌شود. در این شرایط فقط در محل‌های مخصوصی (حوضچه‌ها) (۶) دسترسی به کابل امکان پذیر است. لذا باید کوشید که از همین نقاط دسترس پذیر برای قرار دادن تکرار کننده هادرمسیر استفاده کرد. به عبارت دیگر در چنین شرایطی فاصله تکرار کننده باید به عنوان یک پارامتر مشخص یا یک پارامتر با مقادیر گسسته در نظر گرفته شود [۳ و ۴] علاوه بر موارد بالا محدودیت‌های طراحی نیز باعث به وجود آمدن نویز اضافی در لحظه آشکار سازی و لذا کاهش عمل کرد سیستم می‌شود. بدین ترتیب دیده می‌شود، عواملی که کیفیت انتقال از طریق یک سیستم و یا به عبارت دیگر طراحی آنرا تحت تاثیر قرار می‌دهند متعددند. ولی باید دانست که در یک سیستم معین تمام عوامل فوق به طور همزمان دارای اهمیت نیستند و به علاوه در نظر گرفتن همه عوامل به طور همزمان تحلیل سیستم را پیچیده می‌کند، ضمن اینکه ممکن است نتیجه به دست آمده نیز از لحاظ عملی چندان با ارزش نباشد. لذا در عمل بسته به سهولت و دقت مطلوب در طراحی، مهمترین عوامل کنترل کیفیت را مدنظر قرار می‌دهند و اثر عوامل دیگر را با در نظر گرفتن پارامتری به نام حاشیه طراحی (۷) وارد محاسبات می‌کنند.

۲ - عمل کرد سیستم در یک فاصله تکرار کننده

مدل یک فاصله تکرار کننده در شکل (۱) نشان داده شده است. پالس‌ارسالی در اثر مشخصه فرکانسی کانال، تضعیف و گسترده می‌شود و مقداری نویز به آن اضافه می‌شود. بنابراین یکی از نخستین اقدامات در تکرار کننده، شکل دهی پالس در یافتی (برای آشکار سازی) است. خنثی کردن اثر تابعیت فرکانسی محیط انتقال به وسیله متعادل کننده (۸) (EQ) انجام می‌شود. نکته حالب اینکه خنثی کردن کامل این تابعیت فرکانسی ضرورتی ندارد، زیرا برای آشکار سازی لازم نیست پالس درست شبیه پالس ارسالی (که معمولاً "مربعی است) باشد. به علاوه تامین چنین شکل پالسی در گیرنده احتیاج به عرض باند زیادی دارد که در سیستمهای عملی

- 1- Crosstalk 2- Crosstalk Limited Systems 3- Impulsive Noise 4-Echo
5- Intersymbol Interference 6- Manhole 7- Design Margin 8- Equalizer



شکل ۱ - مدل یک فاصله تکرار کننده در خط انتقال

حال آشکار سازی (isi) و جمله سوم، نویز در لحظه نمونه برداری است. طبق رابطه (۲) برای اینکه آشکار سازی پالس دریافتی به بهترین صورت انجام گیرد، باید اثر سیگنالهای ناخواسته همراه سیگنال اصلی به حداقل برسد و یا به عبارت دیگر احتمال خطا می نیم شود.

بررسیهای انجام شده نشان داده که ساختمان گیرنده هایی که بتوانند احتمال خطا را می نیم کنند، به علت پیچیدگی و حساسیت در مقابل محدودیتهای طراحی عملاً زیاد مورد توجه نیستند. به همین دلیل برای انتخاب شکل پالس دریافتی در ورودی آشکار ساز در اولین قدم شرط حذف isi و سپس در قدم بعدی مصالحه بین نویز، جیتر (۱) و سهولت در طراحی مورد توجه قرار می گیرد.

برای حذف isi شکل پالس دریافتی طوری انتخاب می شود که شرط نایکوئیست برآورده شود (۹ و ۱). یکی از مشخصه های که از این نظر، در عمل، جالب است، انتخاب $R(f)$ به شکل Raised Cosine با صورت کلی زیر است:

نمی توان امکان آن را به وجود آورد ضمن اینکه نویز حواری نیز افزایش می یابد. لذا در عمل مشخصه EQ طوری انتخاب می شود که در ورودی آشکار ساز، یک شکل پالس معین با عرض باند محدود به وجود آید. معیار نحوه انتخاب این شکل پالس به شرح زیر است.

با در نظر گرفتن $r(t)$ به عنوان شکل پالس دریافتی، سیگنال در ورودی آشکار ساز را می توان به صورت زیر نوشت.

$$X(t) = \sum_{k=-\infty}^{\infty} a_k r(t-KT) + n_o(t) \quad (1)$$

به طوری که یکی از M دامنه مجاز ارسالی و $n_o(t)$ نویز در ورودی آشکار ساز است. از این سیگنال در لحظه $t=mT$ نمونه برداری شده و برای آشکار سازی دامنه ارسالی به کار می رود. بنابراین دامنه نمونه حاصل چنین خواهد شد.

$$X(mT) = \sum_k a_k r(m-k)T + n_o(mT) \quad (2)$$

$= a_m r(0) + \sum_{k \neq m} a_k r(m-k)T + n_o(mT)$
در این رابطه، جمله اول، دامنه سیگنال اصلی در لحظه نمونه برداری، جمله دوم، اثر پالسهای مجاور روی پالس در

$$R(f) = \begin{cases} \frac{V_r}{f_s} \dots\dots\dots \circ \ll f \ll (1-m) f_0 \\ \frac{V_r}{2f_s} \left[1 - \sin\left(\frac{\pi}{2} \cdot \frac{f-f_0}{mf_0}\right) \right] \dots\dots\dots (1-m) f_0 \ll f \ll (1+mf_0) \\ 0 \dots\dots\dots f \ll (1+mf_0) \end{cases} \quad (۳)$$

در این رابطه

$$f_s = \frac{1}{T} \text{ : سرعت انتقال،}$$

$f_0 = \frac{1}{2T}$: سرعت ناپیوستگی یا حداقل عرض باند انتقال،
 $v_r = r(\omega)$: پالس دریافتی در ورودی آشکارساز،
 m : ضریب محدودیت عرض باند سیستم به نام

roll-off factor است.

مقدار m در محدوده $0 < m < 1$ تغییر می‌کند و مقدار مناسب برای آن با در نظر گرفتن سهولت طراحی متعادل‌کننده (EQ) و مصالحه بین جیتز قابل تحمل و نویز حرارتی در ورودی آشکار ساز انتخاب می‌شود. با انتخاب مقادیر بزرگ برای m ، یعنی اختصاص عرض باند بیشتر از f_0 برای انتقال سیگنال، شیب $r(t)$ در لحظات $t = KT, K = \pm 1, \pm 2, \dots$ کاهش می‌یابد، یعنی حساسیت نسبت به جیتز کمتر می‌شود، در حالی که به علت افزایش عرض باند، نویز حرارتی در ورودی آشکار ساز زیاد می‌شود.

بدین ترتیب با فرض اینکه جیتزی در سیستم وجود ندارد و شکل پالس دریافتی شرط ناپیوستگی را برآورده می‌کند، رابطه (۲) را می‌توان به صورت زیر نوشت

$$x(mT) = a_m v_r + n_o(mT)$$

این رابطه نشان می‌دهد که کیفیت انتقال، تابعی از قله‌ها پالس دریافتی و نویز یا به عبارت دیگر تابعی از نسبت سیگنال به نویز در ورودی آشکار ساز است. هرگاه احتمال وقوع دامنه‌های a_i برابر q_i و نویز ورودی آشکار ساز گوسی با مقدار متوسط صفرو انحراف استاندارد یا مقدار موثر σ باشد، احتمال خطای سیستم چنین می‌شود.

$$q_e = (q_1 + q_M) Q\left(\frac{V_r}{2\sigma}\right) + \sum_{i=2}^{M-1} 2q_i Q\left(\frac{V_r}{2\sigma}\right) \quad (۴)$$

به طوریکه

$$Q(k) = \int_{-\infty}^{\infty} \frac{1}{\sqrt{2\pi}} e^{-\frac{x^2}{2}} dx$$

در کاربردهای عملی معمولاً "احتمال خطا را برحسب قله‌ها سیگنال به مقدار موثر نویز (۲) بیان می‌کنند. هرگاه این پارامتر را S/N نمایش دهیم، رابطه (۴) را می‌توان به صورت زیر نوشت

$$q_e = \left[q_1 + q_M + \sum_{i=2}^{M-1} q_i \right] Q\left(\frac{1}{2} S/N\right) \quad (۵)$$

در شرایطی که احتمال وقوع دامنه‌های مختلف یکسان باشد، یعنی $q_i = \frac{1}{M}$ رابطه (۵) به صورت زیر در می‌آید.

$$q_e = 2\left(1 - \frac{1}{M}\right) Q\left(\frac{1}{2} S/N\right) \quad (۶)$$

در سیستم‌های PCM روی کابل زوجی، سیگنال ارسالی معمولاً به صورت AMI یا HDB3 کد می‌شود. در این صورت هرگاه احتمال وقوع ارقام 0 و 1 در سیگنال دوروشی (۳) (قبل از کد شدن) یکسان و برابر $\frac{1}{2}$ فرض شود، برای سیگنال AMI ارسالی، احتمال دامنه‌های ± 1 ، برابر $\frac{1}{4}$ و احتمال دامنه 0، برابر $\frac{1}{2}$ می‌شود. لذا کیفیت کار سیستم طبق رابطه (۵) چنین خواهد شد.

$$q_e = \frac{3}{2} Q\left(\frac{1}{2} \cdot \frac{S}{N}\right) \quad (۷)$$

در این صورت هرگاه کیفیت قابل قبول برای کار تکرارکننده را $q_e = 10^{-7}$ در نظر بگیریم، $\frac{S}{N}$ مورد لزوم در ورودی آشکار ساز برابر 20.3 dB خواهد شد. رابطه (۷) با تقریب خوب برای شرایطی که از کد HDB3 استفاده شود نیز قابل کاربرد است.

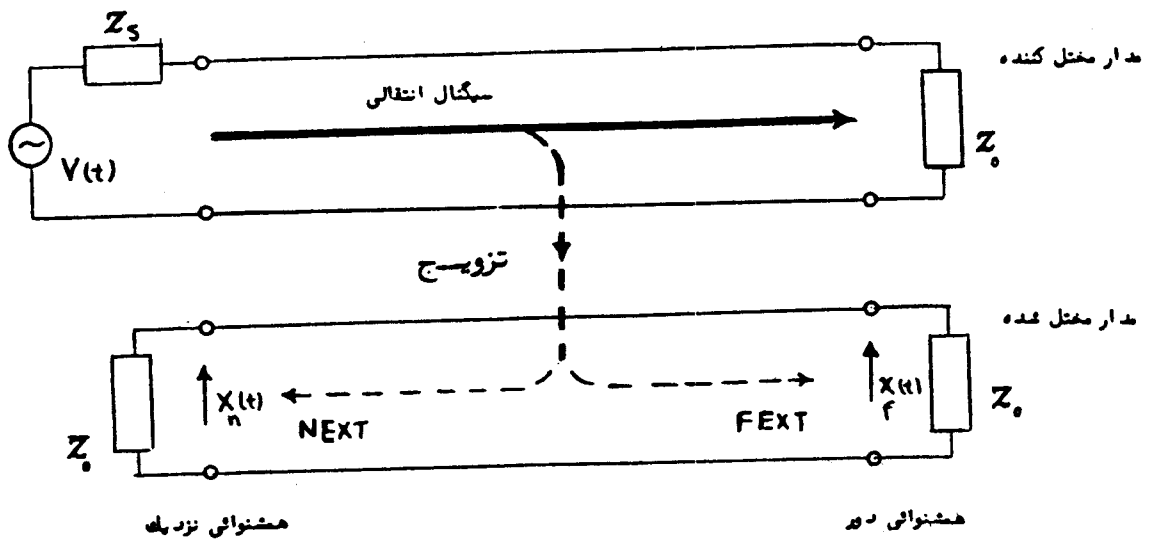
مسئله اساسی در طرح سیستم‌های رقمی، انتخاب پارامترها در قسمت تکرار کننده به منظور تامین یک احتمال خطای معین در آشکارسازی است. طبق رابطه (۴)، این احتمال بستگی به نسبت سیگنال به نویز در ورودی آشکار ساز دارد. بنابراین به عنوان اولین قدم

مغناطیسی بین زوجهای مختلفی که از لحاظ فیزیکی از هم مجزا هستند، به وجود می‌آید. توزیع الکتریکی به علت وجود خازن عدم تعادل^۱ و توزیع مغناطیسی به علت قرار گرفتن یک زوج سیم در حوزه مغناطیسی زوج سیم دیگر (در اثر اندوکتانس متقابل). میزان این توزیجها بستگی به موقعیت هندسی زوج سیمها، مخصوصاً نزدیکی آنها به یکدیگر دارد و معمولاً کم و بیش یکنواخت در طول خط توزیع می‌شوند. در اثر این توزیجها سیگنالی که از طریق یک زوج سیم انتقال می‌یابد به خطوط دیگر منتقل می‌شود. سیگنال تداخلی ناخواسته‌ای که بدین صورت به وجود می‌آید همشنوائی خوانده می‌شود (شکل ۲).

در طرح سیستمها باید نسبت سیگنال به نویز و یا به عبارت دیگر قدرت نویز در ورودی آشکار را محاسبه کرد. دو مولفه مهم از نویز در ورودی آشکار ساز (در صورت حذف ISI و نداشتن - جیمتر) نویز حرارتی و نویز همشنوائی است. اهمیت این مولفه‌ها بستگی به نوع سیستم دارد. به طوری که در سیستمهای روی کابل زوجی همشنوائی و در سیستمهای روی کابل هم محور، نویز حرارتی اهمیت پیدا می‌کند [۴]. لذا در قسمت بعد تنها نویز همشنوائی را در نظر می‌گیریم.

۴- نویز همشنوائی در کابل زوجی

همشنوائی در کابل زوجی به علت وجود توزیج الکتر

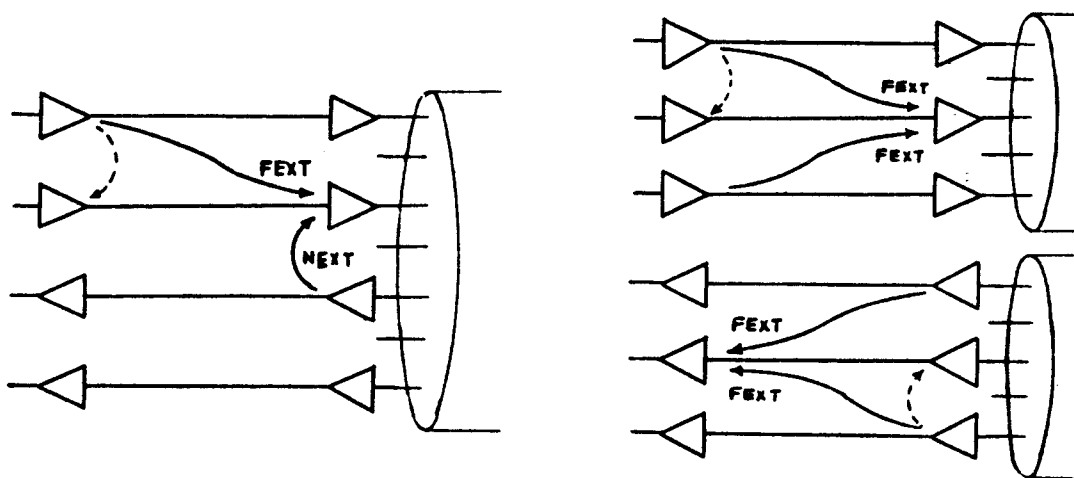


شکل (۲) - همشنوائی بین دو مدار

رود (۴) در این صورت NEXT و FEXT همزمان به وجود می‌آید ولی به علت تفاوت سطح سیگنال در دو حالت، معمولاً "قدرت NEXT خیلی بیشتر از FEXT است در نتیجه اهمیت بیشتری دارد. به همین دلیل، طراحی سیستم در این حالت با در نظر گرفتن NEXT انجام می‌شود (شکل ۳). به همین ترتیب FEXT در شرایطی اهمیت پیدا می‌کند که از یک کابل برای انتقال در یک جهت استفاده شود، یعنی برای رفت و برگشت، دو کابل جداگانه یا دو قسمت جداگانه از یک کابل به کار رود (۵). البته در کابلهای زوجی همشنوائیهای نوع دیگر نیز وجود دارند که دارای اهمیت کمتری هستند [۱۵].

همشنوائی ایجاد شده در مدار مختل شده می‌تواند در دو جهت منتشر شود. هرگاه جهت انتشار همشنوائی وجهت انتشار سیگنال اصلی در خلاف جهت هم باشند، همشنوائی را از نوع نزدیک (۲) NEXT، در صورتی که جهت انتشار این دو سیگنال یکسان باشد، همشنوائی را از نوع دور (۳) FEXT گویند (شکل ۲). اگر چه هر دو نوع همشنوائی می‌توانند بطور همزمان وجود داشته باشند، ولی بسته به نوع سیستم، نحوه تأثیر آنها متفاوت است و ممکن است اثر یکی در مقابل دیگری ناچیز باشد. به عنوان مثال، هرگاه یک کابل برای انتقال در دو جهت (جهت رفت و جهت برگشت) به کار

- 1- unbalance Capacitance
- 2- Near End X-Talk
- 3- Far End X-Talk
- 4- One Cable Operation
- 5- Tow-Cable Operation



شکل (۳): همشنوائی بین سیستمهای هم جهت و غیر هم جهت

متقابل برای واحد طول به ترتیب برابر C_u و M_c باشد. در این صورت با در نظر گرفتن مدار معادل، تزویج بین دو خط برای قطعه dx رامی توان مطابق شکل (۴-ب) نشان داد [۱۰] که جریان i_{NEXT} و جریان i_{FEXT} در این قطعه از مدار مختل شده به وسیله روابط زیر قابل بیان است.

$$\frac{di_{nx}}{i_{ox}} = jw \left(\frac{Z_o C_u}{8} + \frac{M_c}{2z_o} \right) dx = jw C_n dx \quad (9)$$

$$\frac{di_{fx}}{i_{ox}} = jw \left(\frac{Z_o C_u}{8} - \frac{M_c}{2z_o} \right) dx = jw C_f dx \quad (10)$$

با توجه به روابط (۹) و (۱۰) نتایج کلی زیر حاصل می شود:
 - اثر تزویجهای ظرفیتی و القایی در یک حالت با هم جمع و در حالت دیگر از هم کم می شوند بنابراین نمی توان با ترمیم یک نوع تزویج در مقابل تزویج دیگر، $FEXT$ و $NEXT$ را می نیم کرد.

در سیستمهای روی کابل به منظور ایجاد سهولت در مدل بررسی همشنوائی، افت همشنوائی (۱) نزدیک و همشنوائی دوربا توجه به شکل (۲)، به صورت زیر تعریف می شوند که اصطلاحاً "به آن همشنوائی همسطح" گفته میشود [۱۰]

$$NEXT \text{ افت} = 10 \cdot 10 \log \left(\frac{P_1}{P_n} \right) \text{ dB} \quad (8)$$

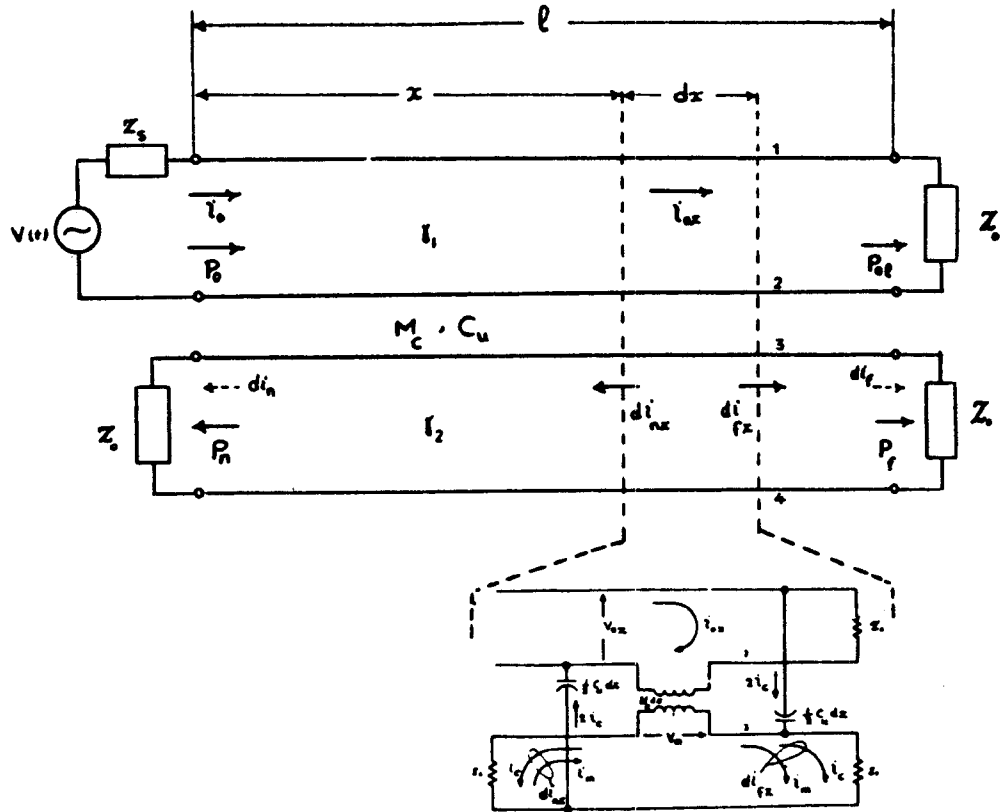
$$FEXT \text{ افت} = 10 \log \left(\frac{P_o}{P_f} \right) \text{ dB}$$

۴-۱: محاسبه قدرت همشنوائی

محاسبه دقیق همشنوائی بین دو خط به علت ناآگاهی از موقعیت هندسی آنها مشکل و به علاوه کاربرد عملی آن محدود است. لذا در طراحی سیستمها معمولاً از روش ساده ای بر مبنای فرضهای زیر استفاده می شود [۱۰ و ۱۱].

الف - سیگنال تداخل کننده سینوسی است.
 ب - تزویجهای ظرفیتی و القایی، یکنواخت در طول خط توزیع شده اند و به وسیله مقادیرشان در واحد طول بیان می شوند.

ج - خطوط به امپدانس مشخصه ختم شده اند.
 برای بررسی همشنوائی در این شرایط، دو خط انتقال با مشخصات Z_o, γ_1 و Z_o, γ_2 طول l را مطابق شکل (۴-الف) در نظر می گیریم و فرض می کنیم خازن عدم تقارن و اندوکتانس



شکل (۴) - همسنوایی بین دو مدار طویل

اثر جریان NEXT ناشی از جزء dx در ابتدای مدار مختل شده. در این صورت می‌توان نوشت:

$$i_{ox} = i_o e^{-\gamma_1 x}, \quad d i_n = d i_{nx} e^{-\gamma_2 x}, \quad \gamma_{1,2} = \alpha_{1,2} + j\beta_{1,2}$$

با قرار دادن این مقادیر در رابطه (۹) نتیجه می‌شود.

$$\frac{d i_n}{i_o} = \left[J\omega C_n e^{-(\gamma_1 + \gamma_2) x} \right] dx$$

حال اگر فرض کنیم، همسنوایی ناشی از اجزاء مختلف خط به یکدیگر ربط ندارند (۱)، یعنی برای جمع اثرها روش جمع قدرتی را به کار ببریم و به علاوه توجه کنیم که در کابلهای زوجی، افت با \sqrt{f} متناسب است (یعنی $\alpha_{1,2} = K_{1,2} \sqrt{f}$) می‌توان نوشت:

$$\frac{P_n}{P_o} = \int_0^l \frac{d i_n}{i_o}^2 dx = \frac{4\pi^2 f^2 C_n^2}{2(K_1 + K_2)} 1 - e^{-2(\alpha_1 + \alpha_2) l}$$

در مدارهای با امپدانس زیاد (مثلاً "دریاند صوتی" - تزویج ظرفیتی و در مدارهای با امپدانس کم (مثلاً "فرکانسهای بالا) تزویج القایی از اهمیت برخوردار است.

۴-۱-۱- محاسبه NEXT

رابطه (۹) میزان NEXT در قطعه به طول dx و به فاصله x از منبع تداخل کننده را مشخص می‌کند. برای محاسبه NEXT ایجاد شده در مدار مختل شده باید اثر NEXT ناشی از قطعه dx را در ابتدای مدار مختل شده محاسبه کرد و سپس از جمع اثر قطعه های مختلف در طول مدار، NEXT در ابتدای خط راه دست آورد. برای این منظور پارامترهای زیر را در نظر می‌گیریم:

i_o = جریان در ترمینال ارسال مدار مختل کننده

هرگاه همشوائی ناشی از قطعه‌های خط را بایکدیگر بی‌ربط در نظر بگیریم، خواهیم داشت:

$$\frac{P_f}{P_o} = \int_0^1 \left| \frac{di_f}{i_o} \right|^2 dx = \frac{w^2 C_f^2 e^{-2\alpha_2} 1}{2(\alpha_1 - \alpha_2)} \left[1 - e^{-2(\alpha_1 - \alpha_2)} \right] \quad (15)$$

و یا با در نظر گرفتن سیگنال اصلی در انتهای مدار، مختل کننده، یعنی $P_{o1} = P_o e^{-2\alpha_1} 1$ را می‌توان به صورت زیر نوشت

$$\frac{P_f}{P_{o1}} = \frac{w^2 C_f^2}{2(\alpha_1 - \alpha_2)} \left[\frac{e^{-2(\alpha_2 - \alpha_1)} 1}{1 - e^{-2(\alpha_1 - \alpha_2)} 1} \right] \quad (16)$$

هرگاه شرایط عملی را که بررسی همشوائی بین زوجهای مختلف از یک کابل است، در نظر بگیریم، می‌توان فرض کرد $\alpha_1 = \alpha_2$. در این صورت رابطه (۱۶) برای زوجهای مشابه به صورت زیر ساده می‌شود:

$$\frac{P_f}{P_{o1}} = w^2 C_f^2 1 = K_f \cdot 1 \cdot f^2 \quad (17)$$

و یا در نظر گرفتن روابط (۸) و (۱۷)، افت FEXT بر حسب dB چنین می‌شود.

$$X_{FD} = -10 \log K_f - 10 \log 1 - 20 \log f \quad (18)$$

با در نظر گرفتن X_{of} به عنوان افت FEXT در فرکانس f_o رای مدارا به طول l_o می‌توان نوشت:

$$X_{oF} = -10 \log K_f - 10 \log 1 - 20 \log f_o \quad (19)$$

بدین ترتیب خصوصیات کلی زیر را می‌توان برای FEXT بین دو مدار مشابه ذکر کرد.

الف - افت FEXT تابعیت فرکانسی دارد و با افزایش فرکانس با شیب 6dB/oct کاهش می‌یابد. لذا

برای مدارهای نسبتاً "طویل" (افت بیشتر از 10 dB) از جمله دوم داخل کروه می‌توان صرف نظر کرد. در این صورت می‌توان نوشت:

$$\frac{P_n}{P_o} = K_n \cdot f^{3/2} \quad (11)$$

بنابر رابطه بالا، افت همشوائی نزدیک بر حسب dB چنین می‌شود:

$$X_{ND} = 10 \log \left(\frac{P_o}{P_n} \right) = -10 \log K_n - 15 \log f \quad (12)$$

با در نظر گرفتن X_{ON} به عنوان افت NEXT در فرکانس f_o می‌توان نوشت:

$$X_{ON} = -10 \log K_n - 15 \log f_o \quad (13)$$

با توجه به بررسی‌های بالا، خصوصیات کلی زیر را می‌توان برای NEXT ذکر کرد.

الف - افت NEXT تابعیت فرکانسی دارد و با افزایش فرکانس با شیب 4.5dB/oct کاهش می‌یابد. با توجه به این مشخصه ملاحظه می‌شود که اندازه‌گیری افت NEXT در یک فرکانس برای بررسی خصوصیات همشوائی کفایت می‌کند، زیرا افت همشوائی در سایر فرکانسها را می‌توان با داشتن این مقدار به دست آورد. [۱۳]

ب - با در نظر گرفتن رابطه (۱۳)، تابع تبدیل NEXT به صورت زیر خواهد شد.

$$\left| X_N(f) \right|^2 = 10^{-0.1 X_{ND}} = K_n f^{3/2} \quad (14)$$

ج - افت NEXT بستگی به طول مدار ندارد.

۴-۱-۲: محاسبه FEXT

با در نظر گرفتن di_f به عنوان اثر جریان FEXT ناشی از جزء dx در انتهای مدار مختل شده، به همان ترتیبی که برای NEXT عمل شد، با استفاده از رابطه (۱۰) می‌توان نوشت:

$$\frac{di_f}{i_o} = j\omega c_f \left[e^{-\gamma_2(1-x)} e^{-\gamma_1 x} \right] dx$$

با توجه به نکات بالا و تجربیات عملی انجام شده به طور کلی می توان گفت، در شرایطی که گابلهای فوق در سیستم استفاده شده باشند از نقطه نظر همشوائی فرق چندانی با یکدیگر ندارند.

۵- بررسی سیستمهای روی کابل زوجی

با توجه به تابع تبدیل تعریف شده برای NEXT و FEXT، مدل سیستم جهت محاسبه توان نویز در ورودی آشکارساز (نقطه X) برای سیستمهای هم جهت و غیر هم جهت در یک کابل را می توان به صورت نشان داده شده در شکل (۴) در نظر گرفت. پارامترهای سیستم برای این بررسی به شرح زیرند:

$n+1 =$ تعداد سیستمهای PCM در حال کار (بهره برداری در یک کابل)

$f_0 =$ فرکانس نایکوئیست یا نصف سرعت انتقال

$L_0, a_0 =$ به ترتیب افت محیط انتقال (زوج سیم) در هر

قسمت تکرار کننده در فرکانس f_0 بر حسب dB و N_p

$6N, m_N =$ به ترتیب میانگین و انحراف استاندارد توزیع افت

NEXT در فرکانس f_0 (یعنی مشخصات توزیع X_{ON})

$\sigma_f, m_f =$ به ترتیب میانگین و انحراف استاندارد توزیع

افت FEXT در فرکانس f_0 (یعنی مشخصات توزیع X_{OF})

$P(f) =$ طیف قدرت سیگنال PCM ارسالی

$H_c(f), C(f) =$ به ترتیب تابع تبدیل و افت محیط

انتقال، $H_c(f) = 1/c(f)$

$E(f) =$ تابع تبدیل متعادل کننده

$X_N(f), X_F(f) =$ به ترتیب تابع تبدیل FEXT, NEXT

$r(t), S(t) =$ به ترتیب شکل پالس ارسالی (خروجی تکرار

کننده) و شکل پالس دریافتی (خروجی متعادل کننده)

$R(f), S(f) =$ به ترتیب طیف دامنه برای شکل پالسهای

ارسالی و دریافتی

$S_R(f), S_S(f) =$ به ترتیب طیف انرژی برای شکل پالسهای

ارسالی و دریافتی

بدین ترتیب با توجه به نکات بالا، روابط زیر را می توان

اندازه گیری FEXT در یک فرکانسی برای بررسی خصوصیات همشوائی کفایت می کند [۱۳].

ب- با توجه به رابطه (۱۹)، تابع تبدیل FEXT به صورت زیر خواهد شد.

$$\left| X_F(f) \right|^2 = 10^{-0.1 X_{FD}} = K_f \cdot 1 \cdot f^2 \quad (20)$$

ج- افت FEXT بستگی به طول مدار دارد.

علاوه بر موارد یاد شده برای خصوصیات NEXT و

FEXT نکات کلی زیر را که در طرح سیستمهای روی کابل زوجی

دارای اهمیت اند، می توان ذکر کرد.

الف: بررسیهای انجام شده نشان داده که افت

همشوائی (بر حسب dB) بین زوجهای مختلف از یک کابل

(یعنی X_{ON} و X_{OF}) را برای کاربردهای عملی می توان

تقریباً "گوسی" در نظر گرفت [۱۴]. به همین دلیل در

طراحی سیستمهای PCM روی کابل زوجی اغلب از توزیع گوسی

[۱۷-۱۵ و ۱۰] و یاد در صورت نیاز به دقت بیشتر از توزیع

گوسی بریده شده^(۱) استفاده می شود [۲۰-۱۸].

ب: از نقطه نظر همشوائی، بین کابلهای با عایق کاغذی،

عایق پلاستیکی خشک و عایق پلاستیکی روغنی، تفاوتی وجود

دارد. به این ترتیب که متوسط افت همشوائی در کابلهای با عایق

کاغذی حدود 3dB کمتر از کابلهای با عایق پلاستیکی است.

این شرایط برای حالتی است که هر دو نوع کابل دارای ساختمان

یکسان باشند و اندازه گیری همشوائی روی یک قرقره از کابل.

انجام شده باشد. علت این تفاوت وجود تعداد پیچشهای

کمتر در کابلهای با عایق کاغذی در مقایسه با کابل با عایق

پلاستیکی است. این محدودیت را می توان با استفاده از مفصل

بندی تصادفی^(۲) در کابلهای کاغذی از بین برد. زیرا این

نوع مفصل بندی جلو انباشته شدن منظم^(۳) همشوائی را

می گیرد، در نتیجه همشوائی کاهش می یابد. تجربیات عملی

نشان داده که در کابلهای با عایق پلاستیکی استفاده از

مفصل بندی تصادفی باعث بهبود همشوائی نمی شود. علت

آن نحوه ساخت این نوع کابلها است که در آن از تعداد

پیچشهای زیاد استفاده شده. در صورت استفاده از کابلهای

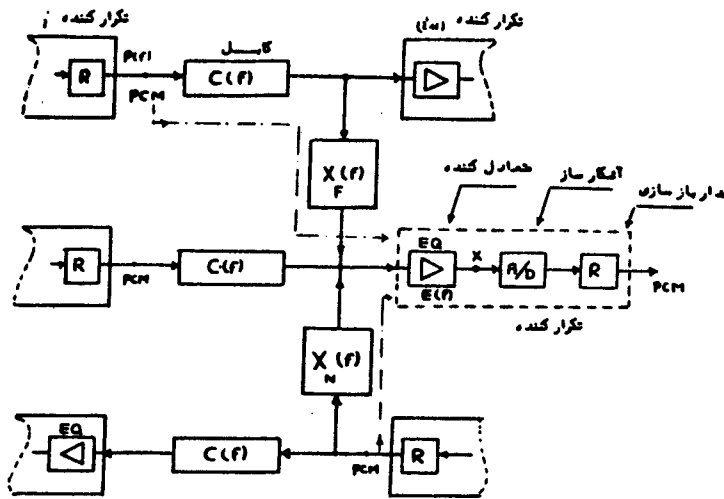
روغنی افت همشوائی به میزان 2 تا 11dB نسبت به کابلهای خشک

افزایش می یابد.

بین پارامترهای مختلف در یک فاصله تکرارکننده نوشت و براساس آن قدرت NEXT و FEXT را در نقطه X محاسبه کرد.

$$R(f) = S(f) \frac{E(f)}{C(f)} \tag{21}$$

$$S_r(f) = S_s(f) \cdot \frac{|E(f)|^2}{|C(f)|^2}$$



شکل (۴) - مدل بررسی همسنوایی در سیستمهای روی کابل زوجی

$$P_N(1) = 2 \int_0^{2f_0} \frac{P(f)}{S_s(f)} \cdot |X_N(f)|^2 \cdot S_r(f) \cdot |C(f)|^2 df \tag{22}$$

۱-۵: محاسبه قدرت NEXT

در صورت استفاده از یک کابل به منظور انتقال سیگنال در دو جهت، NEXT و FEXT در کیفیت سیستم تاثیر خواهند داشت. ولی به دلیل اهمیت بیشتر NEXT معمولاً طراحی براساس این نوع نویز انجام می شود. با توجه به این نکته و با در نظر گرفتن شکل (۴) ملاحظه می شود که NEXT در نقطه X در اثر سیگنال ارسالی از طریق سیستم (۱) ایجاد می شود. برای محاسبه قدرت این همسنوایی از سطح زیر طیف قدرت آن استفاده می کنیم. در این صورت با توجه به مسیر مشخص شده روی شکل و با تعریف پارامترهای:

$P_N(1)$ ، $P_N(1)$ که به ترتیب قدرت NEXT در نقطه تصمیم گیری برای یک منبع تداخل کننده برحسب mw و dB اند می توان نوشت:

$$P_N(1) = 10^{0.4 P_N(1) / 10} = \int_{-2f_0}^{2f_0} P(f) \cdot |X_N(f)|^2 \cdot |E(f)|^2 df$$

و یا با در نظر گرفتن روابط (۲۱)

سیگنال PCM خروجی تکرار کننده را می توان به صورت زیر

$$u(t) = \sum_k a_k \delta(t - kT) * S(t) = g(t) * S(t)$$

در رابطه فوق، علامت *، علامت Convolution و $g(t)$ یک سیگنال PAM ضربه ای است. هرگاه طیف قدرت سیگنال PAM ضربه ای را با $S_g(f)$ نمایش دهیم، طبق رابطه بالا می توان نوشت:

$$P_g(f) = S_g(f) \cdot S_s(f) \tag{23}$$

همچنین با در نظر گرفتن 1 به عنوان طول کابل در قسمت تکرار کننده (فاصله بین تکرار کننده ها) و a به عنوان افت در واحد طول کابل برحسب N_p ، می توان نوشت:

مقادیر مختلف m (ضریب افزایش عرضباند یا roll-off)، محاسبه‌ی در شکل (۵) رسم شده است. چنانکه دیده می‌شود برای مقادیر $m > 0.5$ مقدار همشوائی شروع به افزایش می‌کند. نکته جالب اینکه بین کدهای AMI، HDB₃ و B₆ZS که معمولاً در سیستمهای فاصله کوتاه (روی کابل زوجی) از آنها استفاده می‌شود، از نظر همشوائی تفاوت چندانی وجود ندارد (کمتر از 0.6 dB).

رابطه (۲۸) همچنین نشان می‌دهد که مقدار NEXT بستگی به افت فاصله تکرار کننده a_0 دارد، لذا مقدار آن را می‌توان به وسیله این پارامتر تحت کنترل درآورد. از این خاصیت می‌توان برای مصالحه نویز ضربه‌ای و فاصله تکرار کننده در قسمت انتهایی خط انتقال استفاده کرد. شکل (۶)، چگونگی تغییرات D_N برحسب a_0 را نشان می‌دهد. چنانکه دیده می‌شود این تغییرات برای کدهای مختلف تقریباً یکسان است.

انتخاب شکل گوسی برای $R(f)$ ، به علت سهولتی که در محاسبات ایجاد می‌کند، در بعضی مواقع جالب است. ولی بررسیهای انجام شده نشان داده که شکل Raised Cosine دارای تولرانس بیشتری نسبت به همشوائی است [۲۳]. تاثیر نوع شکل دهی در میزان همشوائی در مرجع [۱۸] بررسی شده.

رابطه (۲۸)، قدرت NEXT در نقطه تصمیم‌گیری را وقتی که تنها یک منبع تداخل کننده وجود داشته باشد، نشان می‌دهد.

هرگاه در یک کابل از $n+1$ سیستم PCM (با جهت رفت و برگشت) استفاده شده باشد. در این صورت در نقطه تصمیم‌گیری مطابق شکل (۷)، n مولفه NEXT خواهیم داشت که توان مولفه i ام آن طبق رابطه (۲۸) برابر $P_N(i)$ خواهد شد.

$$C(f) = e^{-1a\sqrt{f}} = e^{-a_0\sqrt{f/f_0}} \quad (24)$$

بدین ترتیب با ترکیب روابط (۱۴)، (۲۳)، (۲۴)، (۲۲) نتیجه می‌شود.

$$P_N(1) = 10^{-0.1 X_{ON}} \left[2 \int_0^{2f_0} S_g(f) \cdot S_r(f) \cdot (f/f_0)^{3/2} \cdot e^{-2a_0\sqrt{f/f_0}} df \right] \quad (25)$$

حال با در نظر گرفتن قله پالس دریافتی، $V_r = r(0)$ که یکی از پارامترهای مهم در محاسبه نسبت سیگنال به نویز است، می‌توان نوشت:

$$S_r(f) = \frac{2}{V_r} \cdot S'_r(f) \quad (26)$$

در رابطه بالا $S'_r(f)$ ، طیف انرژی شکل پالس دریافتی نرمالیز شده (قله به مقدار ۱) است.

در این صورت از ترکیب روابط (۲۵)، (۲۶) نتیجه می‌شود.

$$P_N(1) = -X_{ON} + 10 \log(V_r^2) + 10 \log \left[2 \int_0^{2f_0} (f/f_0)^{3/2} \cdot S_g(f) \cdot S'_r(f) \cdot e^{-2a_0\sqrt{f/f_0}} df \right] \quad (27)$$

هرگاه جمله دوم رابطه فوق را که بستگی به نوع شکل دهی و افت فاصله تکرار کننده دارد با D_N نمایش دهیم، خواهیم داشت:

$$P_N(1) = -X_{ON} + 10 \log(V_r^2) + D_N + 10 \log \left[2 \int_0^{2f_0} (f/f_0)^{3/2} \cdot S_g(f) \cdot S'_r(f) \cdot e^{-2a_0\sqrt{f/f_0}} df \right] \quad (28)$$

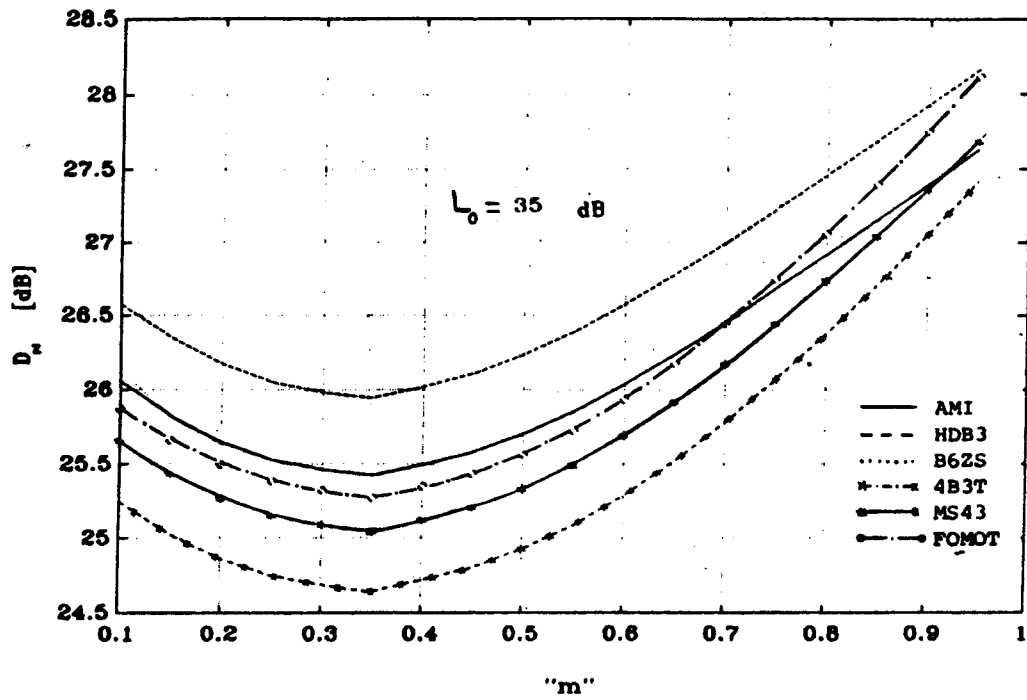
با توجه به رابطه بالا ملاحظه می‌شود.

الف - مقدار همشوائی با افزایش عرضباند انتقال

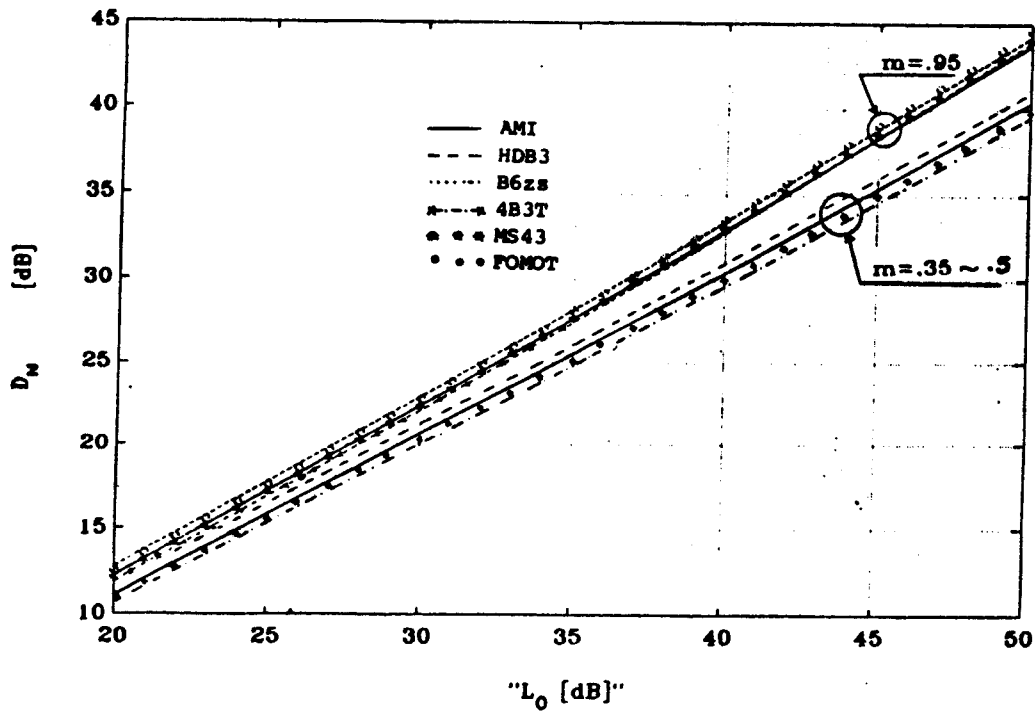
(عرض باند $S_r(f)$) افزایش می‌یابد.

ب - مقدار همشوائی، بستگی به شکل طیف قدرت

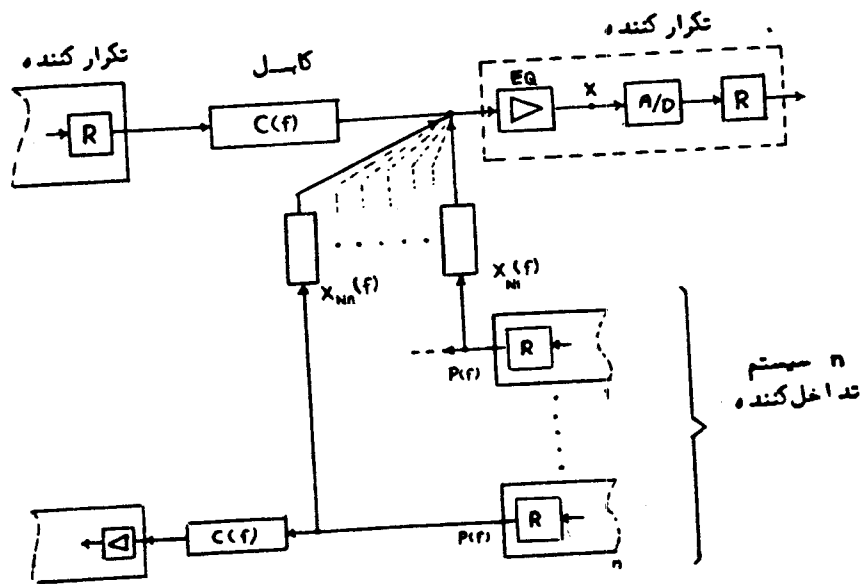
سیگنال PCM ارسالی دارد. لذا اهمیت استفاده از کد انتقال به منظور کاهش اثر فرکانسهای بالای سیگنال انتقالی و همچنین محدود کردن عرضباند، برای کاهش نویز همشوائی به خوبی از رابطه (۲۸) مشاهده می‌شود. برای بررسی این اثر، بادر نظر گرفتن مشخصه Raised Cosine برای $R(f)$ و استفاده از طیف قدرت سیگنال PCM [۲۱، ۲۲]، مقدار D_N برحسب



شکل (۵) - تغییرات D_N برحسب m برای کدهای مختلف



شکل (۶) - تغییرات D_N برحسب افت فاصله تکرار کننده (L_0) برای کدهای مختلف



شکل (۷) - محاسبه قدرت در حالت استفاده از یک کابل برای n+1 سیستم PCM

در شرایط ایده‌آل، پارامترهای هم‌شوائی باید طوری انتخاب شود که در تمام شرایط، احتمال خطای سیستم از حد مورد نظر بیشتر نشود. ولی با توجه به گوسی بودن توزیع $\varphi_N(n)$ تامین این شرایط محدودیت شدیدی را در سیستم ایجاد می‌کند. زیرا احتمال وقوع بدترین شرایط (یعنی توانهای زیاد برای هم‌شوائی) خیلی کم است. بنابراین مناسب‌تر است که risk معینی را برای وقوع شرایط بدی که باعث ایجاد احتمال خطای بیشتر از حد مجاز می‌شود، قبول کرد و چنین محدودیتی را که باعث غیر اقتصادی شدن طرح می‌شود، در سیستم به وجود نیآورد [۱۵]. هرگاه این risk را به میزان ۱٪ در نظر بگیریم با توجه به گوسی بودن توزیع $P_N(n)$ ، می‌توان نتیجه گرفت که برای ۹۹٪ موارد (یا تکرار کننده‌ها) قدرت هم‌شوائی از مقدار زیر کمتر خواهد بود.

$$P_N = \bar{X}_n + 10 \log (V_r^2) + D_N + 2.33 \sigma_{XN}$$

$$= -m_N + 10 \log (V_r^2) + D_N + I_N + 2.33 \sigma_{XN}$$

بنابراین با فرض ربط نداشتن (۱) سیگنالهای داخلی سیستمهای مختلف، توان NEXT کلی چنین می‌شود.

$$P_N(n) = 10 \log \left[\sum_{i=1}^n P_N(i) \right]$$

$$= 10 \log \sum_{i=1}^n 10^{-0.1 X_{ONi}}$$

(۲۹)

با در نظر گرفتن اینکه X_{ON} دارای توزیع نرمال با مقدار متوسط m و انحراف استاندارد σ_N است، می‌توان نشان داد [۲۵-۲۳ و ۱۹-۱۷ و ۱] که X_n با تقریب قابل قبول دارای توزیع نرمال با مشخصات \bar{X}_n و σ_{XN} طبق رابطه (۳۰) است. لذا می‌توان نتیجه گرفت که $P_N(n)$ دارای توزیع گوسی است.

$$\left\{ \begin{aligned} \bar{X}_n &= -m_N + I_N \\ \sigma_{XN} &= 6.593 \left\{ \log \left[\frac{(n-1) + \exp(0.053 \sigma_N^2)}{n} \right] \right\}^{1/2} \\ I_N &= 5 \log \left[\frac{n^3 \exp(0.053 \sigma_N^2)}{(n-1) + \exp(0.053 \sigma_N^2)} \right] \end{aligned} \right. \quad (30)$$

m_N مقدار متوسط افت در فرکانس f_0 است. برای فرکانسهای دیگر باید از شیب 4.5 dB/oct استفاده کرد و مقدار آن را محاسبه کرد و یا برعکس هرگاه مشخصه افت همشناوی در فرکانسی غیر از f_0 اندازه گیری شده باشد، باید با استفاده از شیب فوق مقدار آن را در فرکانس f_0 برای محاسبات بالا دست آورد.

محاسبات فوق بر اساس اطلاعات آماری مربوط به افت همشناوی بین زوجهای مختلف کابل بنا نهاده شده اند، لذا این امکان را به وجود می آورند که بتوان بدون انجام آزمایش Pair Selection (که نیاز به وقت زیاد، نیروی انسانی و وسایل اندازه گیری دارد) سیستم PCM را روی زوجهایی که به تصادف انتخاب می شوند، به کار برد. در صورتی که بخواهیم با استفاده از روش Pair Selection زوج سیمهای مناسب برای یک سیستم PCM را انتخاب کنیم، باید رابطه (۲۸) را به کار ببریم. در این صورت قدرت NEXT چنین می شود.

$$P_N(1) = -X_{ON} + D_N + 10 \log (V_r^2) \quad \text{یا}$$

$$(S/N)_d = X_{ON} - D_N \gg (S/N)_{od} + M_e \quad \text{یا}$$

$$X_{ON} \gg (S/N)_{od} + D_N + M_e \quad \text{dB} \quad (24)$$

بنابراین در این شرایط باید زوج سیمی را انتخاب کرد که مقدار افت NEXT بین آنها در فرکانس f_0 از حد فوق کمتر نشود.

مثال ۱ - در سیستم با مشخصات زیر

نوع کد: AMI

نوع شکل دهی: Raised Cosine با $m=0.5$

افت فاصله تکرار کننده: $L_0 = 35 \text{ dB}$

احتمال خطای مجاز: $p_e = 10^{-7}$ برای فاصله

تکرار کننده

بدر نظر گرفتن $M_e = 12 \text{ dB}$ ، حداقل افت

همشناوی بین دو زوج سیم مورد نظر چنین به دست خواهد

آمد

با استفاده از این مقدار (که برای ۹۹٪ موارد صادق خواهد بود)، نسبت سیگنال به نویز در نقطه تصمیم گیری، چنین می شود:

$$(S/N)_d = 10 \log (V_r^2) - P_N \quad (21)$$

$$= m_N - D_N - I_N - 2.33 \sigma_{XN} \quad \text{dB}$$

نکته جالب دیگر اینکه، در نقطه تصمیم گیری فقط نویز همشناوی نیست که باعث به وجود آمدن خطا می شود، بلکه عوامل دیگری مثل ISI، نویز حرارتی، جیترو هم چنین عدم اطمینان در مقادیر در نظر گرفته شده برای محاسبه قدرت همشناوی نیز موثر است و باعث کاهش کیفیت یا افزایش نویز می شود [۱۵، ۲۶، ۲۸]. هرگاه اثر این عوامل را با پارامتر M_e مشخص کنیم، مقدار S/N کلی در نقطه تصمیم گیری چنین می شود.

$$(S/N)_d = m_N - D_N - I_N - 2.33 \sigma_{XN} - M_e \quad \text{dB} \quad (22)$$

پارامتر M_e به نام حاشیه طرح خوانده می شود و مقدار آن بستگی به شرایط طرح دارد و معمولاً "برایش مقداری در محدوده 12 dB تا 6 dB در نظر گرفته می شود [۱۸ - ۲۰].

حال فرض کنید توزیع دامنه نویز کلی در نقطه تصمیم گیری، گوسی باشد (۱) و میزان S/N مجاز برای تأمین یک احتمال خطای معین برابر $(S/N)_{od}$ باشد (این مقدار با استفاده از رابطه ۲ قابل محاسبه است)، در این صورت برای داشتن کیفیت قابل قبول در سیستم باید رابطه زیر برقرار باشد:

$$(S/N)_d \gg (S/N)_{od} \quad \text{یا}$$

$$m_N - D_N - I_N - 2.33 \sigma_{XN} - M_e \gg (S/N)_{od} \quad \text{یا}$$

$$m_N \gg (S/N)_{od} + D_N + I_N + 2.33 \sigma_{XN} + M_e \quad (23)$$

بدین ترتیب هرگاه بخواهیم از یک کابل برای انتقال $(n+1)$ سیستم PCM (شامل مدار رفت و برگشت) با کیفیت مورد نظر استفاده کنیم، باید رابطه (۲۳) بین پارامترهای مختلف آن برقرار باشد. همان طور که ملاحظه می شود حداقل افت NEXT بستگی به σ_N ، a_0 و n دارد. باید توجه داشت که

(۱) - به دلیل وجود عوامل مختلف و به دلیل صادق بودن قضیه حد مرکزی، فرض قابل قبولی است.

یا با در نظر گرفتن تابع تبدیل FEXT طبق رابطه (۲۰) می توان نوشت:

$$P_F(1) = -X_{OF} + 10 \log(v_r^2) + 10 \log(1/l_o) + D_F$$

$$D_F = 10 \log \left[2 \int_0^{2f_o} (f/f_o)^2 \cdot S_g(f) \cdot S'_r(f) df \right] \quad (۳۵)$$

چنانکه دیده می شود، D_F ، مستقل از افت فاصله تکرار کننده است و تنها بستگی به نوع کد گذاری و نوع شکل دهی دارد. با انتخاب مشخصه Raised Cosine برای $R(f)$ ، چگونگی تغییرات D_F برحسب m (ضریب افزایش عرض باند) برای کدهای مختلف در شکل (۸) رسم شده.

در شرایطی که از یک کابل یا قسمتی از یک کابل برای انتقال $n+1$ سیستم PCM (جهت رفت یا برگشت) استفاده شود، قدرت FEXT در نقطه x از جمع اثرهای n منبع تداخل کننده به وجود خواهد آمد. این قدرت همان طور که در بخش قبلی ذکر شد، وقتی که برحسب dB_m نمایش داده شود، دارای توزیع گوسی است و مقدار آن برای ۹۹٪ موارد (یا تکرارکننده های کمتر از مقدار زیر خواهد بود).

با استفاده از رابطه (۷) $(S/N)_{od} = 20.3 dB$

با استفاده از شکل (۵) $D_N = 25.7$

با استفاده از رابطه (۳۴) $X_{ON} \approx 58 dB$

هرگاه این کابل برای انتقال ۲۰ سیستم (دردو جهت) به کار رود، با انتخاب $\sigma_N = 8dB$ و با در نظر گرفتن روابط (۳۰) و (۳۲) خواهیم داشت

$$I_N = 18.15 dB, \sigma_{XN} = 4.17 dB$$

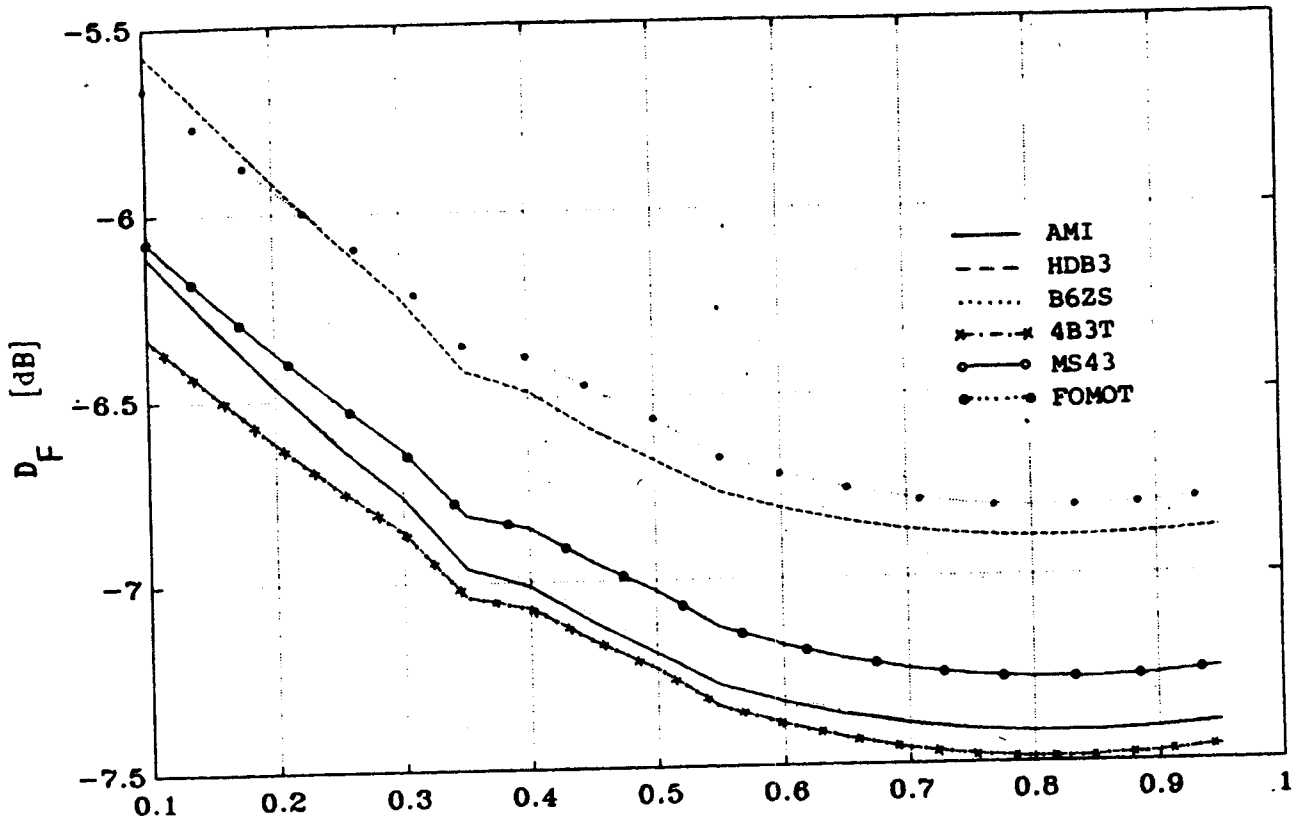
$$m_N \approx 85.87 dB$$

۲-۵: محاسبه قدرت FEXT

در صورتی که سیستمهای استفاده شده روی یک کابل دارای جهت های یکسان باشند، FEXT از اهمیت برخوردار خواهد بود. در این شرایط با استفاده از روش به کار رفته در قسمت قبل و با توجه به شکل (۵)، قدرت FEXT ناشی از یک سیستم تداخل کننده در نقطه x چنین می شود.

$$p_F(1) = 10^{0.1 P_F(1)}$$

$$= 2 \int_0^{2f_o} S_g(f) \cdot |X_F(f)|^2 S'_r(f) df$$



شکل (۸) - چگونگی تغییرات D_F برحسب m برای کدهای مختلف

این مساله هنگامی اهمیت پیدا می کند که در شبکه از مراکز سوئیچینگ رقمی استفاده شود. در این شرایط سیگنالهای PCM خروجی مرکز تلفن دارای ساعت (۱) مشترک و در نتیجه همزمان خواهند بود.

بررسیهای انجام شده در مورد انتقال سیگنالهای PCM همزمان نشان داده [۲۷] که در مورد NEXT، شرایط تفاوتی نمی کند و روابط به دست آمده برای سیستمهای ناهمزمان، برای سیستمهای همزمان نیز قابل کاربرد است. در مورد FEXT، نتیجه بستگی به شرایط سیگنالهای انتقالی از طریق زوج سیمهای تداخل کننده دارد. در صورتی که این سیگنالها نسبت به هم بی ربط باشند، یعنی پلاریته ارقام در سیگنالهای انتقالی برای سیستمهای مختلف تصادفی باشند (که عملاً نیز چنین است) تفاوت چندانی بین سیستمهای همزمان و ناهمزمان وجود ندارد. بنابراین می توان نتیجه گرفت که عملاً "سیستمهای همزمان را می توان از لحاظ همشنوائی شبیه سیستمهای ناهمزمان فرض کرد. بدترین شرایط برای همشنوائی هنگامی به وجود می آید که سیستمهای تداخل کننده دائماً "رقم ۱ را ارسال کنند (مثلاً "در سیستم PCM-30، همگی در حال ارسال Alarm باشند) که احتمال به وجود آمدن آن خیلی کم است.

نکته ۲ - اندازه گیریهای همشنوائی در کابلها، اغلب به وسیله سیگنالهای سینوسی انجام می شود (مقادیر X_{ON} و X_{OF})، در حالی که برای سیستمهایی که در عمل به کار می رود، منابع تداخل کننده عرض باند وسیع دارند. بنابراین از این نقطه نظر باید یک ضریب تصحیح برای مقدار همشنوائی محاسبه شده در نظر گرفت. بررسیهای انجام شده نشان می دهد [۲۵] که مقدار متوسط همشنوائی برای دو حالت یکسان است ولی انحراف استاندارد دارای تفاوت جزئی است. رابطه به دست آمده بین انحراف استاندارد برای دو حالت نشان می دهد که در صورت استفاده از سیگنالهای باند وسیع، انحراف استاندارد نسبت به حالت سیگنال سینوسی کمی کاهش پیدا می کند (شکل ۹ از مرجع ۲۵).

۶ - اندازه گیری حاشیه کار تکرار کننده ها

از آنجا که روز به روز بر تعداد سیستمهای PCM در حال کار، افزوده می شود. برای کسب اطمینان از اینکه مفروضات در نظر گرفته شده برای طرح هنوز قابل اعتماد هستند

$$P_F = -m_F + 10 \log v_x^2 + 10 \log (1/l_0) + D_F + I_F + 2.33 \sigma_{XF} \\ \sigma_{XF} = 6.593 \left\{ \log \left[\frac{(n-1) \exp(0.053 \sigma_F^2)}{n^2} \right] \right\}^{1/2} \\ I_F = 5 \log \left[\frac{n \exp(0.053 \sigma_F^2)}{(n-1) + \exp(0.053 \sigma_F^2)} \right] \quad (26)$$

بنابراین با در نظر گرفتن $(S/N)_{od}$ به عنوان سیگنال به نویز مورد لزوم برای تامین احتمال خطای مجاز، نتیجه می شود.

$$(S/N)_{od} + D_F + I_F + 2.33 \sigma_{XF} + m_F + 10 \log (1/l_0) \text{ dB} \quad (27)$$

بدین ترتیب هرگاه بخواهیم از یک کابل برای انتقال $n+1$ سیستم PCM هم جهت (جهت رفت یا برگشت) با کیفیت مورد نظر استفاده کنیم، باید رابطه (۲۷) بین پارامترهای مختلف آن برقرار باشد.

فرض کنید بخواهیم در یک کابل با استفاده از روش Pair Selection زوج سیمهای مناسب برای استفاده دو سیستم PCM را انتخاب کنیم، در این صورت باید افت FEXT اندازه گیری شده بین دو زوج سیم انتخاب شده در فرکانس f_0 در رابطه زیر صدق کند.

$$X_{OF} \gg (S/N)_{od} + D_F + m_F + 10 \log (1/l_0) \quad (28)$$

مثال ۲ - برای سیستمهای PCM با مشخصات داده

شده در مثال (۱) نتیجه می شود.

$$D_F = -7.3 \text{ dB} \quad \text{با استفاده از شکل (۸):}$$

با استفاده از رابطه (۲۸) و با در نظر گرفتن $l_0 = 1$ ، حداقل افت همشنوائی لازم (برای $n=1$)

$$X_{OF} \gg 20.3 - 7.3 + 12 \rightarrow X_{OF} \gg 25 \text{ dB}$$

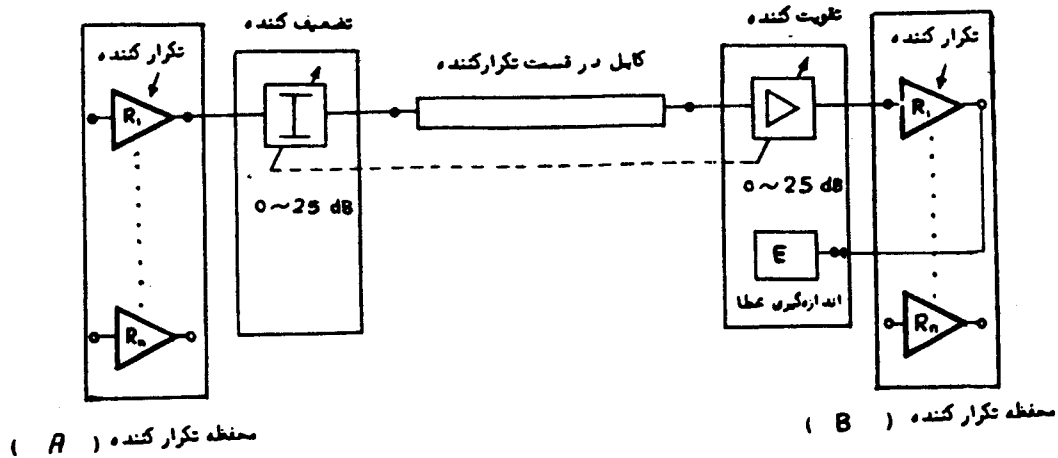
چنین هرگاه این کابل برای انتقال ۲۰ سیستم (هم جهت) به کار رود، با انتخاب $\sigma_F = 8 \text{ dB}$ و با در نظر گرفتن روابط (۲۶)، (۲۷) خواهیم داشت.

$$I_F = 18.15 \text{ dB}, \quad \sigma_{XF} = 4.17 \text{ dB} \\ m_F = 52.87 \text{ dB}$$

نکته ۱، روابط به دست آمده برای قدرت همشنوائی حاصل از منبع تداخل کننده در قسمت های قبل (روابط ۲۹، ۲۶) بر مبنای ناهمزمان بودن سیستمهای PCM مختلف بنا نهاده شده. در صورتی که از یک کابل برای انتقال سیگنالهای PCM همزمان استفاده شود، مقدار همشنوائی به علت جمع سیستمهای مختلف آن ممکن است از مقدار محاسبه شده به وسیله روابط ۲۹ و ۳۶ تجاوز کند.

استفاده می‌شود، عمل کد سیستم در هنگام نصب، بهتر از حد مورد نظر است، مخصوصاً اگر اندازه‌گیری در شرایطی انجام شود که درجه حرارت کابل پائین باشد. اما این شرایط پایدار نخواهد ماند، زیرا اگر احتمال خطا چند ماه پس از نصب اندازه‌گیری شود، مقدار آن بیشتر از زمان نصب خواهد بود. از این نقطه نظر بهتر است هنگام نصب، حاشیه کار تکرار کننده‌ها را اندازه‌گیری کرد تا بتوان تکرار کننده‌های با حاشیه کم را که ممکن است پس از گذشت زمان، در دسربیا فرینند، شناسایی کرد. زیرا تعویض سیستم در هنگام نصب خیلی راحت‌تر است تا پس از مدتی کار.

پایه، اندازه‌گیری تولرانس تکرار کننده‌ها ضروری است. برای این اندازه‌گیری ITT سیستمی پیش نهاد کرده که اصول کار آن را شکل (۹) نشان می‌دهد. چنانکه دیده می‌شود، سیگنال خروجی تکرار کننده قبل از وارد شدن به محیط انتقال، تضعیف و پس از گذشتن از کابل و قبل از وارد شدن به تکرار کننده بعدی به همان اندازه تقویت می‌شود. در نتیجه نویز حرارتی و نویز هم‌نشوائی ناشی از سیستمهای دیگر تقویت می‌شود. بنابراین آن مقدار از تضعیفی که باعث می‌شود احتمال خطای سیستم از حد مجاز در نظر گرفته شده، تجاوز کند، میزان تولرانس یا حاشیه کار تکرار کننده را مشخص می‌سازد [۲۸، ۳۱]. اندازه‌گیری حاشیه کار از جنبه دیگری نیز حائز اهمیت است. با توجه به اینکه برای طراحی سیستم از یک حاشیه طرح



شکل (۹) - اندازه‌گیری حاشیه کار برای تکرار کننده‌ها

از آنجا که اندازه‌گیری هم‌نشوائی قبل از نصب هر سیستم غیر اقتصادی است، روشهای جدید طراحی بر مبنای استفاده از اطلاعات آماری افت هم‌نشوائی در کابلهای زوجی بنا نهاده شده. این اطلاعات را می‌توان با انتخاب نمونه‌های مختلف از کابلهای متفاوت به کار رفته در سطح شبکه به دست آورد چنانکه دیدیم، با استفاده از این اطلاعات می‌توان به منظور دستیابی به یک احتمال خطای مجاز در فاصله تکرار کننده، تعداد سیستمهای PCM قابل انتقال از طریق یک کابل را مشخص کرد و یا اینکه حداقل متوسط افت هم‌نشوائی لازم را به صورت تابعی از سرعت سیستم، ظرفیت انتقال کابل و فاصله تکرار کننده‌ها

نتیجه ۷ - نفوذ روزافزون تکنیک رقمی در شبکه‌های قیاسی، استفاده از سیستمهای PCM روی کابلهای زوجی موجود در شبکه را اجتناب ناپذیر کرده. به علاوه معرفی مراکز سوئیچینگ رقمی در شبکه، روند استفاده از این سیستمها را سرعت خواهد بخشید. یکی از مسائلی که در این شرایط اهمیت پیدا خواهد کرد، استفاده از یک کابل برای ارسال چند سیگنال PCM با سرعت 2.048 Mb/s است که اقتصادی شدن طرح شبکه را به دنبال خواهد داشت. حداکثر تعداد سیستمهای PCM که می‌توان روی یک کابل قرار داد تابعی از هم‌نشوائی در فرکانسهای بالاست.

بیان کرد .

برای به دست آوردن روابط بالا ، ابتدا کیفیت در یک فاصله تکرار کننده مورد توجه قرار گرفت و پارامترهای موثر در عمل کرد سیستم معرفی شد و نتیجه گرفته شد که در سیستمهای روی کابل زوجی ، نویز همشنوائی مهمترین عامل کنترل کیفیت است . لذا محاسبه این نوع نویز در ورودی آشکار ساز مورد توجه قرار گرفت . برای این منظور ابتدا نحوه ایجاد همشنوائی در کابل زوجی بررسی و به کمک آن مدل سیستم رقمی روی کابل زوجی تعیین شد . با استفاده از مدل به دست آمده ابتدا قدرت نویز همشنوائی در ورودی آشکار ساز برای یک سیستم تداخل کننده و سپس بر اساس آن با استفاده از مشخصات آماری افت همشنوائی ، قدرت همشنوائی در ورودی آشکار ساز وقتی که n سیستم تداخل کننده وجود داشته باشد تعیین شد . این بررسی برای دو حالت زیر انجام گرفت .

الف - سیستم با محدودیت NEXT : این شرایط موقعی برقرار خواهد بود که کابل برای انتقال در دو جهت به کار رود .

ب - سیستم با محدودیت FEXT : در این شرایط برای هر جهت انتقال از یک کابل استفاده می شود یا اینکه در صورت استفاده از یک کابل قسمتی از مقطع آن به جهت های رفت و قسمت دیگر به جهت های برگشت اختصاص داده می شود .

در مواردی که بخواهیم قابلیت اطمینان سیستم را در مقابل خرابیهای کابل افزایش دهیم ، طرح استفاده از دو کابل جداگانه ، توصیه می شود .

روابط به دست آمده برای طراحی کلی است و می تواند برای هر نوع کدگذاری ، فاصله تکرار کننده و سرعت انتقال به کار رود . این روابط برای کاربردهای عملی ، تقریب قابل قبولی دارد و این امکان را به وجود می آورد که بتوان انتخاب زوج سیم را برای کاربرد PCM به طور تصادفی انجام داد . البته در این انتخاب ممکن است برای بعضی از سیستمها احتمال خطا از حد مجاز فراتر رود .

۸ - قدردانی

از آقایان مهندس محمد مسعود زرگری و مهندس شاه آبادی که در انجام محاسبات کامپیوتری زحمت فراوان کشیدند صمیمانه تشکر می کنم .

- ۱ - دکتر ناصر رضائی، سیستمهای انتقال مخابراتی رقمی، گروه برق دانشکده فنی دانشگاه تهران، جزوه درسی
- 2 - Bellamy, "Dijital Telephony ", John Wiley, 1982, ch.2
- 3 - Hans Baur , "Transmission Technology: Signals for the Next century," Siemens Rev. , 56, March/ April 89, pp.4-7
- 4 - P.Bylanskò D.G.w. Ingram, "Dijital Transmission Systems", Peter Peregrinus Ltd. 1982, ch.7
- 5 - E. Iwahashi & W. Sakurai, "Designing a Pcm - 16 M SYstem Repeated Line," Rev. of Elect. comm Lab., Vol. 17, Nos. 5-6, May - June 1969
- 6 - E.D. waldhauer, "Quantized Feedback in an Experimental 280 - Mb/s Digital Repeater For coaxial transmission", IEEE trans. on Commun., Vol. COM- 22, pp.1-5 , Jan. 1974
- 7 - A.M. Giacometti & ph. Uythoven, " The 565 Mb /s 8TR640 SYstem: Equalization Design and performance Analysis," philips Telecom. Rev., Vol. 41, No 3, No. 3, Sep. 83, pp. 175 - 192
- 8 - W. Kobl, etal, "coaxial Line Equipment For 34 to 565 Mo/s," Elect. Comm., 1982, 57 (3), pp. 243 - 250
- 9 - K.S. Shanmugam, "Digital & Analog Communication System, gohn wiley, 1979, p. 194
- 10 - Bell Staff, "Transmission Systems For communidations, "Bell Lab. Inc., 4th ed. 1970, Ch.11
- 11- P.G. fontolliet, telecommunication Systems," Artech House Inc., 1986, ch.3
- 12 - E.D. Sunde, "Communication Systems Engineering Theory," John Wiley, 1969, Ch. 11
- 13 - L. Tachimowicz, etal, "Transmission properties of Filled Thermoplastic Insulated and Jacketed Telephone Cables at voice and carrier Frequencies," "IEEE Trans. on commun., Vol. COM - 21, pp. 203 - 209, March 1973
- 14 - S.H. Lin, " Statistical Behavior of Multipair crosstalk, "Bell SYS. Tech. J. , Vol. 59, No6, July - Aug. 1980, pp. 955-974
- 15 - B.R. Jacobsen, "Cable Crosstalk Limits Low Capaciry pulse Code Modulation Systems', Elect. Coram. Vol. 48;No. I& 2, 1973
- 16 - M. Balas, " Dimensioning of Digital Line Realized on Symmetricopair Cables", Buduvox, no 3, 1987
- 17 - A.Gibbs & R. Addie, " The Covariance of Near End Crosstalk and its Application to PCM SYstem Engineering in Mnltpair Cable", IEEE Trans. on Comm., Vol. Vol. COM - 27, No.2, Feb. 1979, pp. 469 - 477
- 18 - B.R. Narayama Murthy " Loss Requirements for pcm Transmission", IEEE Trans. on commun. Vol. COM -24, No.1, Jan 1976, pp.88-97
- 19 - S.D. Bradley, "Crosstalk consideration for a 48 channel PCM Repeated Line', IEEE Trans. on Commun., Vol. Com-23, NO.7 July 1976, pp. 722 - 728
- 20 - E.S Usher, etal, "Analysis of Crosstalk Data for Maximizing PCM

- System Application", IEEE Trans. on Commun., Vol. COM - 27, NO.11, NOV. 1979, pp. 1737 - 1745
- 21 - j.B. Buchner, "Ternary Line Codes", Philips Telecom. Rev., Vol. 34, No.2 June 1976, pp.72-86
- 22 - K.W. Cattermole & J.J.O, Reilly, Mathematical Topics in Tele - Communications; Vol.2, problems of Randomness in communication Engineering", pentech press, 1984, Ch. 15
- 23 - L.J. Millott, "Aspects of PCM Regenerator Design for crosstalk Limited Enviroments", IEEE Trans. on commun. Vol. COM - 29, Sep. 1981
- 24 - N.A. Marlow, "A Normal Limit Theorem for power sums of Independent Random Variables", BellSSys. J., Nov. 1967, p. 2081
- 25 - I. Nasell, "Some properties of power Sums of Truncated Normal Random Variables", Bell Sys. Tech. J., Nov. 1967, pp. 2091-2110
- 26 - S.G. Mc Elvoney, etal, "Design and performance of Digital Transmission Systems operating pairs", British Telecom. Eng. J., Vol. 3, oct. 1984, pp.187-196
- 27 - A. Kanemasa, etal, "Multi-pair Crosstalk in synchronous PCM Systems", ICC 84, paper 23.7
- 28 - R.J. Catchpole, etal, "planning and Implementation of pcm Systems on Symmetric pair cables", Elect. Conmm., Vol. 57, No. 3, 1982 , pp. 180 - 186
- 29 - K. Trondle &G. Soder, "Optimization of Digital Transmission Systems", Artech House, 1987
- 30 - J.Whetter &N.J. Richman, 30- Channel Pulse code Modulation System: part - 2: 2.048 Mb/s Digital Line System, British post office Elect. Eng. J., Vol. 71, July 1978, pp. 82-89
- 31 - G.J. Semple &A.J. Gibbs, Assessment of Methods for evaluating the Immunity of PCM Regenerator to Near End Crosstalk", IEEE Trans. on Commun. Vol. COM - 30, No. 7, July 1982, pp. 1791 - 1797
- * چند مرجع مفید دیگر در این زمینه جهت اطلاعات بیشتر:
- 32 - D.Navaro, etal, "Transm ssion of 8.448 Mb/s over Pair cable," IEE 143, Second Int. Conf. on : Telecommunication Transmission Into the Digital era" , 17-20 March 1981, pp. 178 - 181
- 33 - R.D. Hall & J. Whetter. "the Application of 2Mb/s Digital Line Systems to Symmetric Pair cables!", ibid, pp, pp. 164 - 167
- 34 - W.Altmann, etal, " An 8448 Kbit/s Digital Line System for paper-cored Quad cables", ibid, pp. 173 - 177
- 35 - V. Schmidt & K.V. Winnicki, Digital Transmission on Balanced Copper pairs", Telecom report 10 (1987) Special Multiplexing and Line Transmission, pp.137 - 143